

横荷重あるいは偏心鉛直荷重をうける
単弦ローゼ桁橋の耐荷力について

大阪大学工学部 正員 小松尾夫
大阪大学受託研究員 正員 ○小林 潔

① まえがき 単弦ローゼ桁橋を図-1のように、剛節骨組構造物にモデル化し、有限要素法により耐荷力の解析をおこなう。面外挙動が問題となる単弦ローゼ桁橋を対象とするため、立体弾塑性解析をおこなうが、断面は比較的のストッキーな断面であるため、幾何学的非線形性は比較的小さいとした。アーチ部材は部材軸方向だけでなく、断面方向にも分割し、降伏域のひろがりと残留応力の影響を考慮した。材料的非線形性に関しては、荷重増分前後の降伏域の変化による不つりあい力を考慮し、初期応力法と接線剛性法をミックスした文献1)の方法により解析した。

② 解析法 おもな仮定は、① 材料は完全弾塑性材料あるいはひすみ硬化材料とする、② Misesの降伏条件に従い、降伏後の応力-ひすみの増分関係は Prandtl-Reuss則に従う、③ アーチ断面は2重対称閉断面とする、④ 断面のさりが直いすみ、せん断ひすみおよびせん断ひすみにおよぼす影響は無視する、⑤ 幾何学的非線形性は考えない、である。仮定④によりひすみ-変位の増分関係は次のようになる。

$$\Delta \epsilon = \Delta u' - y \Delta v' - z \Delta w' \quad (1)$$

$$\Delta \delta = l_s \Delta \theta_x \quad (2)$$

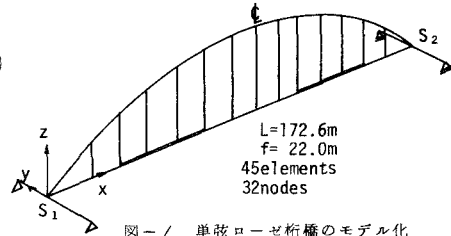


図-1 単弦ローゼ桁橋のモデル化

図-2に示すように薄肉要素とさらに分割して得られる「細要素」を用いても仮定④により、自由度は増加しない。いっぽう、軸力、2軸曲げ、ねじりをうける多軸応力状態においても、断面内の降伏域の境界を求めることが容易であり、残留応力の分布形状にも制限されない。ある荷重増分に対して、a) 弾性、b) 弹性から塑性へ移行する、c) 降伏してくる、各細要素に対して応力-ひすみの増分関係はそれぞれ次式を用いる。¹⁾ (図-3参照)

$$\Delta \delta = \begin{cases} D_{e\delta} & (3) \\ D_p \Delta \epsilon & (4) \\ D_p \alpha \Delta \epsilon + D_p (1-\alpha) \Delta \delta & (5) \end{cases}$$

$$\alpha = (\text{降伏} \times \text{ひすみまでのひすみ増分}) / (\text{ひすみ増分}) \quad (6)$$

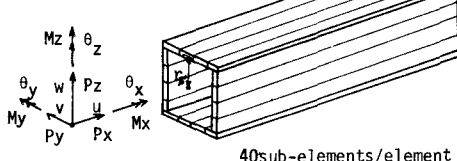


図-2 細要素と断面力、変形の正方向

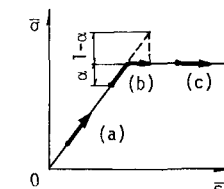


図-3 σ-ε 曲線

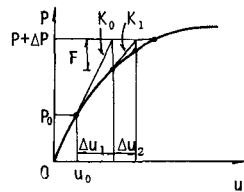


図-4 P-u 曲線

応力-ひすみマトリックス D_e , D_a の内容およびひすみ増分の求め方は文献2)参照。以下、増分後の平衡状態に対して仮想仕事の原理を適用する。内力の仮想仕事 $\mathcal{W}_v^* = \int_V \delta \sigma^T (\mathbf{Q}_0 + \Delta \mathbf{Q}) dV$ を細要素の状態により式(3)-(5)を用いて積分を実行すれば、

$$W_i^* = \delta u^{*T} (R_o^* + K_o^* \Delta u^* - F^*) \quad (7)$$

$$\text{ただし } R_o^* = \int_{V_o} B^T \sigma_o dV, K_o^* = \int_{V_o} B^T D B dV, \\ F^* = \int_{V_{ep}} B^T D_a (1-\alpha) B dV \Delta u^*, \Delta \varepsilon = B \Delta u^* \quad (8)$$

式(8)の体積積分は R_o^* , K_o^* とは、増分前の降伏域の分布について、 F^* が移行した要素についてのみ実行する。外力の仮想仕事 $W_e = \delta u^T (P_o + \Delta P)$ と W_e^* を集成して W_e と置き換えて、次式を得る。

$$K_o \Delta u = \Delta P + F \quad (9)$$

式(9)の解法は、まず $F=0$ として変位 Δu_1 を算定し、新しい降伏域の分布に対する F_1 , K_1 を求める。次に $\Delta u_2 (=K_1^{-1} F_1)$ を求め、 F_2 , K_2 を得る。以下 F が十分小さい値になると予測される。(図-4参照)

③ 数値計算 図-1, 表-1 に示す単弦ローゼ桁橋に設計荷重 (D : 死荷重, L_1 : 活荷重満載, L_2 : 活荷重偏載, W : 風荷重) を比例載荷した。残留応力は $\sigma_{rc}=-0.4\sigma_y$ の台形分布とした。計算はまず弾性限界荷重を求め、以後修正増分法によった。 K の修正は新しく降伏した要素についておこなう。 F 。図-5では、残留応力のため、降伏域が各ウェブ、フランジの中央に生じ、アーチ軸方向にはほぼ一様となる。図-6の $P-V-W$ 曲線において、面外たわみの程度により、極限荷重に差異がみられる。荷重-たわみ曲線の勾配がやや立ちあがり、たわみ v と荷重 P が ill となり、とくに $D+W$ の場合には他の比べて降伏域が十分に発達していないことなどから、横荷重が作用する場合にはさらにつれて非線形性を考慮した解との比較も必要と思われる。これについては後日発表する予定である。なお本解析結果による安全率および荷重係数を示す表-2によれば、本橋は所定の値を有している。同表の *印については値には残留応力の影響が表れていた。

④ あとがき 本研究において、熊本大学の崎元達郎講師、大阪大学の北田俊行助手、ならびに学部学生の浜建樹氏(現鹿島建設)のご協力があり、ここに記し感謝の意を表します。

参考文献

- 1) 小松・北田; 有限要素法による平面弾塑性問題の解析について、第28回年次講演会 I-43, 昭和48年.
- 2) 山田; 塑性・粘塑性(コンピュータによる構造工学講座 II-2-A) 培風館

表-1 構造モデルの各部材の断面諸量

	A m ²	I m ⁴	I z m ⁴	J m ⁴
アーチ部材	0.3642	Iy=0.3471	Iz=0.3621	0.4476
補剛桁	0.8602	Iy=1.5543	Iz=38.98	3.5932
補剛桁	0.8899	Iy=1.6948	Iz=39.45	3.5932
端横桁	0.7080	Ix=1.2820	Iz=5.178	2.3910
つり材	0.0577	Iy=0.0395	Iz=0.0037	0.0111

表-2 各荷重状態に対する安全率と荷重係数

荷重状態	Pe/Pw	Py/Pw	Pmax/Pw
1 D+L ₁	1.31	2.18>1.77	2.20 >2.00
2 D+L ₂	1.38	2.30>1.77	2.15*>2.00
3 D+W	1.48	2.46>1.42	2.09*>1.60
4 D+L ₁ +W/3	1.27	2.12>1.42	1.94*>1.60
5 D+L ₂ +W/3	1.33	2.22>1.42	1.96*>1.60
6 1.3(D+LW ₁)	0.84	1.40	1.24*>0.80
7 1.3(D+LW ₂)	0.89	1.48	1.32*>0.80

$$L_i = 5(L_i + W/3) / 3 \quad i=1, 2$$

Pw ; 設計荷重

Pe ; 弾性限界荷重 ($\sigma_{rc}=-0.4\sigma_y$)

Py ; 残留応力のないときの弾性限界荷重

Pmax ; 理論極限荷重 ($\sigma_{rc}=-0.4\sigma_y$)

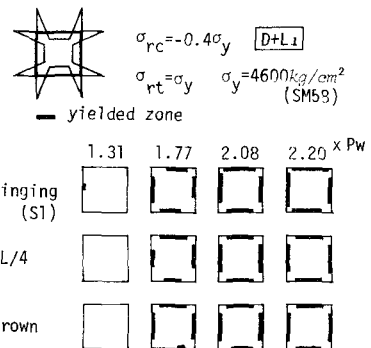


図-5 アーチ断面の降伏域のひろがり

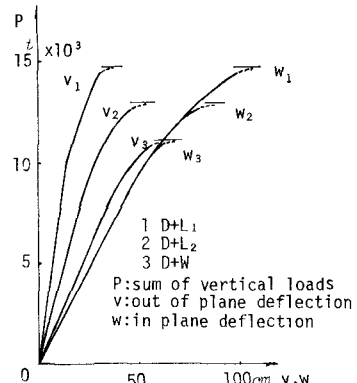


図-6 アーチクラウンの荷重-たわみ曲線